



## ارزیابی اثر تابش‌دهی گاما بر ترکیب و غلظت اسیدهای آلی و ویتامین‌های محلول در آب میوه‌ی دو رقم زرشک ایرانی

سمیرا برنجی اردستانی<sup>\*</sup>، محمدعلی سحری<sup>۱</sup>، محسن بروزگر<sup>۲</sup>

۱. پژوهشکده‌ی کاربرد پرتوها، پژوهشگاه علوم و فنون هسته‌ای، سازمان انرژی اتمی ایران، صندوق پستی: ۳۴۸۶-۱۱۳۶۵، تهران - ایران

۲. گروه مهندسی علوم و صنایع غذایی، دانشکده کشاورزی، دانشگاه تربیت مدرس، صندوق پستی: ۱۱۱-۱۴۱۵۵، تهران - ایران

**چکیده:** عصاره‌ی دو رقم زرشک آبی (*Berberis vulgaris*) و پلویی (*Berberis integerrima*) در حلال آب، تاریکی، pH عدد ۳ و دمای ۲۵°C تهیه شد. آثار تابش‌دهی گاما با دزهای ۰,۱,۲,۵,۵,۷,۵,۱۰ kGy بر ترکیب و غلظت اسیدهای آلی و ویتامین‌های محلول در آب هر دو رقم بررسی شد. با استفاده از کروماتوگرافی مایع با کارابی بالا (HPLC) در شاهد دو رقم، اسیدهای آلی اگزالیک، تارتاریک، کوینیک، مالیک، آسکوربیک، شیکیمیک، مالونیک، استیک، مالیک، سوکسینیک و فوماریک اسید و ویتامین‌های C, B<sub>5</sub>, B<sub>6</sub>, B<sub>1</sub>, فولیک اسید، بیوتین و B<sub>2</sub> شناسایی شدند. در رقم آبی، ترکیبات استیک، آسکوربیک و مالونیک اسید و ویتامین‌های بیوتین، فولیک اسید و B<sub>1</sub> و در رقم پلویی مالیک، آسکوربیک و مالونیک اسید و ویتامین‌های B<sub>1</sub>, بیوتین و B<sub>5</sub> پرقدار بودند. در دو رقم فوماریک اسید، در رقم آبی ویتامین B<sub>5</sub> و در رقم پلویی فولیک اسید کم مقدارترین بودند. بعد از پرتوفراوری، در رقم آبی اسیدهای مالیک (10 kGy)، استیک (Gy), ۰,۵ kGy و آسکوربیک (0,۵ kGy) و ویتامین‌های B<sub>5</sub>, بیوتین و B<sub>1</sub> با دز ۰,۵ kGy و در رقم پلویی اسیدهای استیک (0,۵ kGy), سوکسینیک (2,۵ kGy) و مالیک (7,۵ kGy) و ویتامین‌های B<sub>5</sub> (1 kGy), B<sub>1</sub> (10 kGy) و بیوتین (10 kGy) پرقدارترین بودند.

**کلیدواژه‌ها:** زرشک، اسیدهای آلی، ویتامین‌های محلول در آب، کروماتوگرافی مایع با کارابی بالا (HPLC)، پرتو گاما

## Evaluation of Gamma Irradiation on Profile and Concentration of Organic Acids and Water Soluble Vitamins in Two Iranian Barberry Fruits

S. Berenji Ardestani<sup>1\*</sup>, M.A. Sahari<sup>2</sup>, M. Barzegar<sup>2</sup>

1. Radiation Application Research School, Nuclear Science and Technology Research Institute, AEOI, P.O.Box: 11365-3486, Tehran-Iran  
2. Department of Food Science and Technology, Agricultural Faculty, Tarbiat Modares University, P.O. Box: 14155-111, Tehran – Iran

**Abstract:** Extracts of two varieties of barberry including *Berberis integerrima* and *Berberis vulgaris* were prepared by water as a solvent, in darkness, with a pH=3 and at a temperature of 25°C. Then the effects of gamma radiation processing with doses of 0.5, 1, 2.5, 5, 7.5 and 10 kGy were studied on the profile and concentration of organic acids and water soluble vitamins. By a high-performance liquid chromatography (HPLC) in the control samples oxalic, tartaric, quinic, malic, ascorbic, shikimic, malonic, acetic, maleic, succinic and fumaric acids and C, B<sub>5</sub>, B<sub>6</sub>, B<sub>1</sub>, folic acid, biotin and B<sub>2</sub> vitamins were identified. In the *Berberis integerrima* acetic, ascorbic and malonic acids and biotin, folic acid and thiamin vitamins; and in the *Berberis vulgaris* malic, ascorbic and malonic acids and B<sub>1</sub>, biotin and B<sub>5</sub> vitamins were dominant. In both cultivars fumaric acid, in the *Berberis integerrima* B<sub>2</sub>; and in the *Berberis vulgaris* folic acid had the least amounts. After the gamma processing in the *Berberis integerrima*, Malic (10 kGy), acetic (0.5 kGy) and ascorbic (10 kGy) acids and B<sub>5</sub>, biotin and B<sub>1</sub> (0.5 kGy) vitamins; and in the *Berberis vulgaris* acetic (0.5 kGy), succinic (2.5 kGy) and malic (7.5 kGy) acids and B<sub>5</sub> (10 kGy), B<sub>1</sub> (1 kGy) and biotin (10 kGy) vitamins were the most.

**Keywords:** Barberry, Organic Acids, Water Soluble Vitamins, High Performance Liquid Chromatography (HPLC), Gamma Irradiation

\*email: sardestani@aeoi.org.ir

تاریخ دریافت مقاله: ۹۴/۱۱/۱۰ تاریخ پذیرش مقاله: ۹۵/۱۲/۱۲





## ۱. مقدمه

روش استخراجی مانند استخراج با فاز جامد (SPE) قبل از HPLC برای بازیابی حداکثری و حذف سایر گونه‌های تداخل کننده‌ی جاذب UV ضروری است [۹، ۱۰]. از مزایای دیگر، تجزیه با HPLC، سهولت اتصال به سایر تکنیک‌ها، و نیاز به مقادیر اندک نمونه و گزینش‌پذیری بالا است [۱۱].

هدف اصلی فرایند مواد غذایی، کاهش فعالیت ریززنده‌ها و کاهش تغییرات فیزیکی و شیمیایی پایین آورنده‌ی کیفیت ماده غذایی است. تغییرات طی فرایند، ممکن است مطلوب (عقیم شدن عوامل ضدتغذیه‌ای در اثر حرارت) یا نامطلوب (از بین رفت ویتامین‌ها و سایر مواد مغذی در اثر حرارت) باشند.

پرتوفراوری مواد غذایی نوعی روش فیزیکی است که ماده‌ی غذایی بسته‌بندی شده در برابر پرتوهای گامای حاصل از یک منع رادیوایزوتوپ قرار می‌گیرد [۱۲]. فرایند یونیزاسیون، اتم‌ها یا مولکول‌های بسیار فعالی به نام رادیکال‌های آزاد تشکیل می‌دهند. غالباً انرژی تابشی جذب شده (دز)، در تولید رادیکال‌های آزاد و ایجاد برهم‌کنش شیمیایی بین آن‌ها یا بین آن‌ها و سایر مولکول‌ها مصرف می‌شود. بخش جزئی انرژی جذب شده به انرژی حرارتی تبدیل، و در نتیجه تازگی، خواص حسی و تغذیه‌ای مواد غذایی حفظ می‌شود. آثار پرتوهای یونیزه کننده بر مواد اثر می‌کند و موجب تجزیه‌ی مولکول‌ها مانند DNA و سایر ترکیبات سازنده‌ی غذا می‌شود. در حالت غیرمستقیم، تابش دهنی از طریق رادیولیز آب عمل می‌کند و محصولات گوناگون آن با سایر ترکیبات واکنش می‌دهد، در نتیجه تغییرات معنی‌دار شیمیایی مانند تشکیل هیدروپروکسید و رادیکال‌های آزاد ایجاد می‌شوند [۱۳، ۱۴]. تشکیل و تراکم حلقه‌های آروماتیک و ترکیبات هتروسیکلیک در دمای پخت موجب ایجاد ترکیبات سمی و سرطان‌زا بیشینه، اتلاف ویتامین در تابش دهنی مشاهده نمی‌شود. در شرایط بهینه، اتلاف ویتامین در دزهای تابش دهنی تا  $1 \text{ kGy}$  در مواد غذایی غیرمعنی دار است [۱۵]. در این پژوهش، به بررسی آثار پرتوفراوری گاما بر اسیدهای آلی و ویتامین‌های محلول در آب به عنوان گروهی از ترکیبات زیست فعال میوه‌های *Berberis integerrima* (مورد استفاده در تهیی نوشیدنی زرشک که در این پژوهش با نام زرشک آبی خوانده می‌شود) و *Berberis vulgaris* (استفاده در تزیین پلو و غذاها که در این پژوهش با نام زرشک پلویی خوانده می‌شود) پرداخته می‌شود.

زرشک با بیش از ۶۶۰ گونه، بزرگ‌ترین جنس در تیره‌ی زرشک *Berberidaceae* است. ریشه، ساقه، برگ و میوه‌ی آن، استفاده‌های دارویی و صنعتی دارد. ترکیبات زیست فعال میوه‌ها مانند پلی‌فنول‌ها، کاروتونوئیدها، آنتوسیانین‌ها، توکوفروفول‌ها، فلاونوئیدها، آنزیم‌ها، مواد معدنی، پکتین، اسیدهای آلی و ویتامین‌های محلول در آب که نقش آن‌ها در سلامت به اثبات رسیده‌اند، برای مصرف انسان ضروری و بدون خطرناک و خواص ضدآکسایشی، ضدمیکروبی و ضدالتهاب دارند [۱].

اسیدهای آلی، مولکول‌های با وزن پایین و ساختار عمومی R-COOH هستند [۲]. نسبت اسیدهای آلی به قندها نقش مهمی در تقویت عطر و طعم دارد. این ترکیبات، خاصیت ضدمیکروبی طبیعی دارند [۳] و رنگ میوه‌ها تحت تأثیر آن‌هاست [۴]. اسیدهای آلی به دلیل نقش‌هایشان در فیزیولوژی گیاهی مانند کوفاکتور، عوامل بافری و واسطه‌های مسیرهای متابولیکی کربوهیدرات‌ها، لیپیدها و پروتئین‌ها مهم هستند. از مهم‌ترین اسیدهای موجود در انواع خانواده‌ی بری<sup>(۱)</sup> (مالیک، سیتریک، تارتاریک، اگزالیک و فوماریک اسید هستند [۵]. نوع و مقدار اسیدهای آلی، اطلاعاتی درباره اصل و نژاد میوه، وضعیت میکروبی، روش‌های فراوری، طعم، تازگی یا فساد میوه و فراورده‌های آن فراهم می‌کند [۶]. هم‌چنین ابزاری توانمند در شناسایی تقلب به شمار می‌روند [۷].

ویتامین‌ها دامنه وسیعی از ترکیبات آلی هستند که به میزان اندک در مواد غذایی طبیعی وجود دارند. حضور آن‌ها در واکنش‌های آنزیمی برای سوخت‌وساز کربوهیدرات، چربی و پروتئین ضروری است [۸]. ویتامین‌ها شامل دو گروه عمدی محول در آب و محلول در چربی‌اند. ویتامین‌های محلول در آب را گروه B، و ویتامین C تشکیل می‌دهند [۹]. دریافت ناکافی ویتامین‌ها از جمله عوامل خطرساز برای بروز بیماری‌های قلبی، سرطان و پوکی استخوان است. مقادیر روزانه‌ی لازم با اصطلاح دریافت‌های روزانه‌ی توصیه شده<sup>(۲)</sup> برای ویتامین‌ها و مواد معدنی تعریف شده است.

روش‌های HPLC، جداسازی و تعیین مقدار سریع، دقیق و اقتصادی ترکیبات شیمیایی را در بافت‌های گوناگون با روش‌های آماده‌سازی و آشکارسازی متفاوت امکان‌پذیر می‌سازد. معمولاً



Berberis integerrima



Berberis vulgaris

شکل ۱. تصاویر دو رقم زرشک ایرانی بررسی شده در این پژوهش.

میوه‌های خشک با خرد کن پودر شدند. برای تهیهٔ عصاره در دمای ۲۵°C، مقدار ۱۰ g پودر زرشک (آبی یا پلویی) با ۴۰ ml حلال (آب یا آتانول) در اrlen مخلوط، همانجا به طور کامل با پارافیلم پوشیده، و روی همزن تا ۲۴ h با سرعت ۱۵۰ rpm همزده شد. arlen تیمار استخراج، در تاریکی کاملاً با فویل آلومینیم پوشانده شد [۱۸]. برای تهیهٔ عصاره در دمای ۵۰°C، arlen‌های مشابه فوق به مدت ۲ h در حمام آب ۵۰±۱°C قرار داده، و سپس به مدت ۲ h در تاریکی نگه داشته شدند [۱۹]. محتويات arlen‌ها تا بی رنگ شدن مایع خروجی با حلال مورد نظر شسته، و اين مایع خروجی با استفاده از قيف بوخرن و كاغذ صافی واتمن pH شماره ۱ و تحت خلاصه شدند. استخراج در همان مقدار pH اوليه زرشک انجام شد. مقادير pH اين دو رقم زرشک آبی ۳,۱۶ و ۳,۰۶ (B. vulgaris) و پلویی (B. integerrima) بود [۲۰].

## ۲. مواد و روش‌ها

### ۱.۲ مواد شيميايي و دستگاه‌ها

استاندارد اسیدهای آلی شامل اگزاليلك، تارتاريک، کوينينيك، ماليك، آسكوريك، شيكيميك، مالونيك، اسيتك، مائيك، سوكسينيك و فوماريک (Supelco, USA)، استاندارد ويتامين‌های C<sub>18</sub>, B<sub>1</sub>, B<sub>5</sub>, B<sub>6</sub>, C, B<sub>1</sub>، فوليک اسيد، يوتين و B<sub>2</sub> (Supelco, USA)، کارتريج (Teknokroma, Barcelona, Spain) ۵۰۰ mg C<sub>18</sub> صافی (Sartorius, Germany) غشایي استات سلولز ۰,۴۵ μm، ۰,۴۵ μm پلی‌پروپيلن (Teknokroma, Barcelona, Spain) با دستگاه کروماتوگرافی مایع با کارايی بالا (مشخصات ستون: Prontosil 120-5 C<sub>18</sub> AQ 250×4.6mm with precolumn, KNAUER, 5 μm particles, Germany) آزمون ويتامين‌ها با دستگاه کروماتوگرافی مایع با کارايی بالا (مشخصات ستون: ۵ cm×4.6mm ID, 5 μm particles, Supelco, USA) با کارايی بالا (WATERS, USA) متشکل از نرم افزار Empower، پمپ (Waters 600, USA)، شير تزريقي (Rheodyne 7125i six-way)، لوپ تزريقي به حجم ۲۰ ml و آشكاراساز فرابنفس - مريري (Waters model 2487)، دستگاه پرتودهندي گاماسل (Nordion, Canada) با آهنگ دز ۳,۶۳ Gy/s.

### ۲.۲ روش‌ها

شکل ۱، تصاویر دو رقم زرشک مورد استفاده در اين پژوهش را نشان مي‌دهد. میوه‌های زرشک بعد از بسته‌بندی، درون بطري‌های با دهانه‌ی باز شيشه‌ای با در پلاستيكي در اتمسفر هوای عادي داخل محفظه‌ی تابش دهی قرار گرفتند. نمونه‌ها در دزهای ۰ (شاهد)، ۰,۵، ۱، ۲,۵، ۵، ۷,۵ و ۱۰ kGy، با سرعت ۳,۶۳ Gy/s تابش دهی، و تا زمان آزمایش در فريزر ۲۰°C-رنگه داری شدند [۱۶].

برای پيشگيري از تخريب رنگ و کاهش آثار فرایند خشک کردن، میوه‌ها در آون ۵۰°C به مدت ۴۸ h برای زرشک، آبی و ۷۲ h برای زرشک پلویی با توجه به محتوي رطوبت اوليه شان تا رسيدن به محتوي رطوبت نهايی ۵٪ قرار داده شدند [۱۷]. سپس



### ۳. نتایج و بحث

#### ۱.۳ تأثیر فراوری بر نوع و غلظت اسیدهای آلی

ترکیب و مقدار اسیدهای آلی مربوط به عصاره‌ی دو رقم در حال آب، شرایط تاریکی، pH برابر ۳ و دمای  $25^{\circ}\text{C}$  نمونه‌ی تازه‌ی منجمد نشده و هم‌چنین نتایج بررسی اثر تابش‌دهی گاما بر ترکیب و مقدار اسیدهای آلی در عصاره‌های مذکور دو رقم زرشک ایرانی آبی و پلویی در جدول ۱ ارائه شده‌اند. فرماریک اسید که در نمونه‌های تازه شناسایی شده بود، بعد از فراوری به استثنای رقم آبی منجمد شده، در هیچ کدام از تیمارهای این دو رقم مشاهده نشد. سایر اسیدهای آلی شناسایی شده در اغلب نمونه‌های فرایند شده دو رقم میوه‌ی زرشک ایرانی اسیدهای اگزالیک، تار تاریک، کوینیک، مالیک، آسکوربیک، شیکیمیک، مالونیک، استیک، مالئیک و سوکسینیک بودند (شکل‌های ۲ تا ۵). لازم به ذکر است که برای بررسی اثر فرایند، نتایج حاصل پس از فرایند، به دلیل استفاده از نمونه‌ی منجمد شده به مدت یک سال، با همان نمونه‌ی منجمد (شاهد در تیمار تابش‌دهی یا به عبارتی تیمار ۶) مقایسه شدند.

اسیدهای آلی در اثر حرارت و اکسایش طی فراوری تجزیه می‌شوند [۲۳، ۲۴]. محتوای اسیدهای آلی طی انبارداری به علت تنفس، استفاده از اسیدهای آلی به عنوان سویسترا [۲۴] و اسکلت کربنی برای ساخت ترکیبات جدید طی رسیدگی در انبار کاهش می‌یابد. هم‌چنین تجمع و افزایش قندها طی رسیدن با کاهش اسیدها مرتبط است. ماندگاری اسیدها نشان‌دهنده‌ی تأخیر در رسیدن به دلیل اثر هم‌زمان دمای یخچال و تابش‌دهی است [۲۵]. محتوای اگزالیک اسید بعد از تابش‌دهی  $0.5\text{ kGy}$  در میوه‌های زرشک ارقام آبی و پلویی،  $5\text{ kGy}$  در *B. vulgaris* و  $1\text{ kGy}$  در *B. integerrima* معنی‌دار داشت. مقدار این اسید بعد از تیمار تابش‌دهی با دزهای  $7.5\text{ kGy}$  و  $10\text{ kGy}$  در هر دو رقم،  $1\text{ kGy}$  و  $2.5\text{ kGy}$  در *B. vulgaris* و *B. integerrima* نشان داد. در منابع دیگر اثر پرتوهای گاما بر اگزالیک اسید بادام به صورت نوسان اندکی طی کل دوره‌ی نگهداری در تمام دزهای تابش‌دهی مشاهده شد [۱۳].

تار تاریک اسید بعد از هیچ یک از دزهای تابش‌دهی در دو رقم زرشک آبی و پلویی مشاهده نشد.

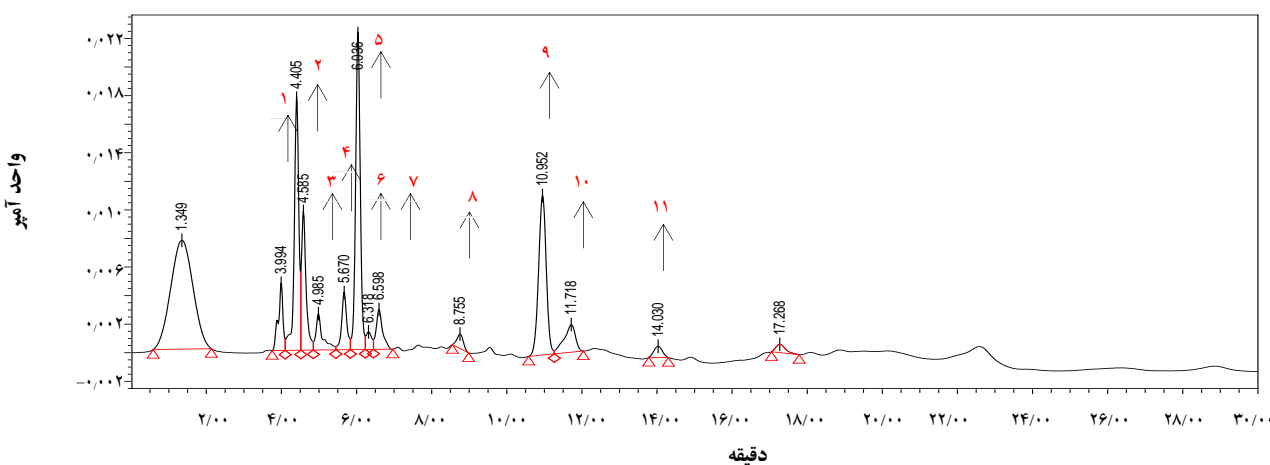
برای بررسی ترکیب و غلظت اسیدهای آلی، میوه‌ی دو رقم زرشک آبی و پلویی، محلول  $1000\text{ ppm}$  از هر نوع عصاره تهیه، برای تخلیص محلول‌ها به مدت  $2\text{ min}$  در  $12000\text{ rpm}$  سانتریفیوژ، و از کارتریج  $\text{C}_{18}$  عبور داده شد و در نهایت با صافی استات سلولز صاف شدند. نمونه‌های تخلیص شده، به دستگاه کروماتوگرافی مایع با کارابی بالا تزریق شدند. غلظت‌ها براساس روش استاندارد خارجی (منحنی‌های استاندارد چند نقطه‌ای) در دامنه‌ی غلظت  $0.1$  تا  $10000\text{ ppm}$  محاسبه، و اسیدهای آلی با مقایسه‌ی زمان بازداری قله‌ها در کروماتوگرام نمونه با زمان بازداری‌های استاندارد شناسایی شدند [۶].

محلول  $1000\text{ ppm}$  عصاره‌ی میوه‌های دو رقم زرشک آبی و پلویی برای بررسی ترکیب و غلظت ویتامین‌های محلول در آب تهیه شدند. محلول‌ها  $2\text{ min}$  در  $12000\text{ rpm}$  سانتریفیوژ شدند. روش استخراج با فاز جامد برای استخراج ویتامین‌های محلول در آب استفاده شد. فاز ساکن با  $10\text{ ml}$  متانول و  $10\text{ ml}$  آب (با pH تنظیم شده روی  $4.2$ ) به منظور فعال‌سازی شستش شد. آب اسیدی با افزودن قطره قطره محلول  $\text{HCl}$ ،  $0.05\text{ M}$  به آب و هم‌زدن آن تا رسیدن به  $\text{pH}=4.2$  تهیه شد. سپس  $10\text{ ml}$  محلول سانتریفیوژ شده روی کارتریج  $\text{C}_{18}$  بارگذاری شد. نمونه با  $5\text{ ml}$  آب اسیدی و  $10\text{ ml}$  متانول از کارتریج شویش شد. خروجی کارتریج در بالنی جمع، و با استفاده از تبخیر کننده‌ی چرخان تحت خلا  $35^{\circ}\text{C}$  خشک شد. باقی مانده در فاز متحرک (محلول بافر) حل، و با استفاده از صافی غشائی پلی‌پروپیلن صاف شد. جداسازی با تزریق  $20\text{ }\mu\text{l}$  از نمونه‌ی نهایی به دستگاه کروماتوگرافی مایع با کارابی بالا انجام شد [۲۱]. فاز متحرک شامل محلول  $\text{K}_2\text{HPO}_4$  ( $\text{A}$ ) و متانول ( $\text{B}$ ) با گرادیان  $1\text{ ml/min}$  مشخص بود. شرایط کار سرعت جريان فاز متحرک  $1500\text{ PSI}$ ، آشکارساز فرابنفش-مربي، طول موج  $220\text{ nm}$  و دمای محیط بودند. غلظت‌ها براساس روش استاندارد خارجی (منحنی‌های استاندارد چند نقطه‌ای) در دامنه‌ی غلظت  $0.1$  تا  $10000\text{ rpm}$  محاسبه، و ویتامین‌های محلول در آب با مقایسه زمان بازداری قله‌ها در کروماتوگرام نمونه با زمان بازداری‌های استاندارد شناسایی شدند [۸]. تمام شرایط کار و روش‌ها برای دو رقم یکسان بوده‌اند.

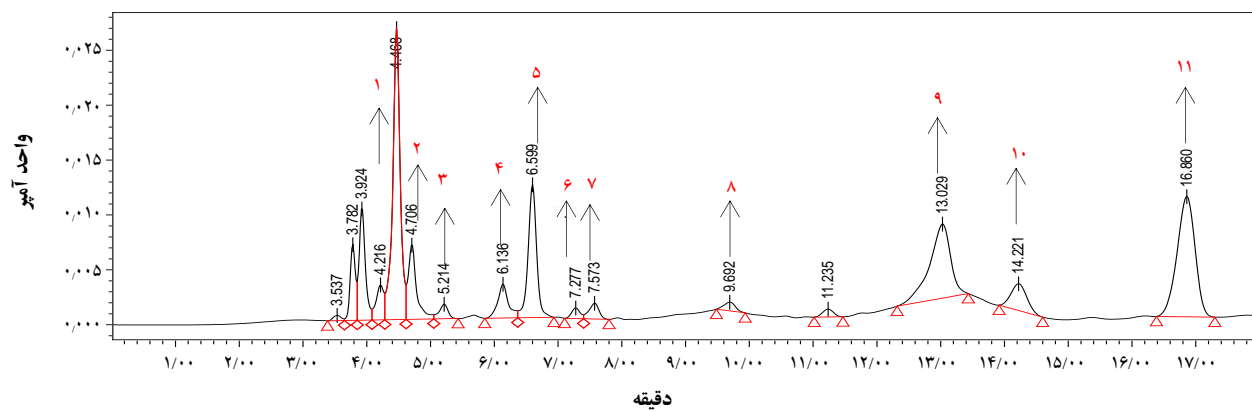


**جدول ۱** مقایسه‌ی تأثیر تمارن‌های مختلف بر میزان اسیدیتی‌های آلی ( $\text{mg D-5}^{-1}$  عصاره) استخراج شده از بیهوده در قم زرشک ایرانی آبی و پلوپی

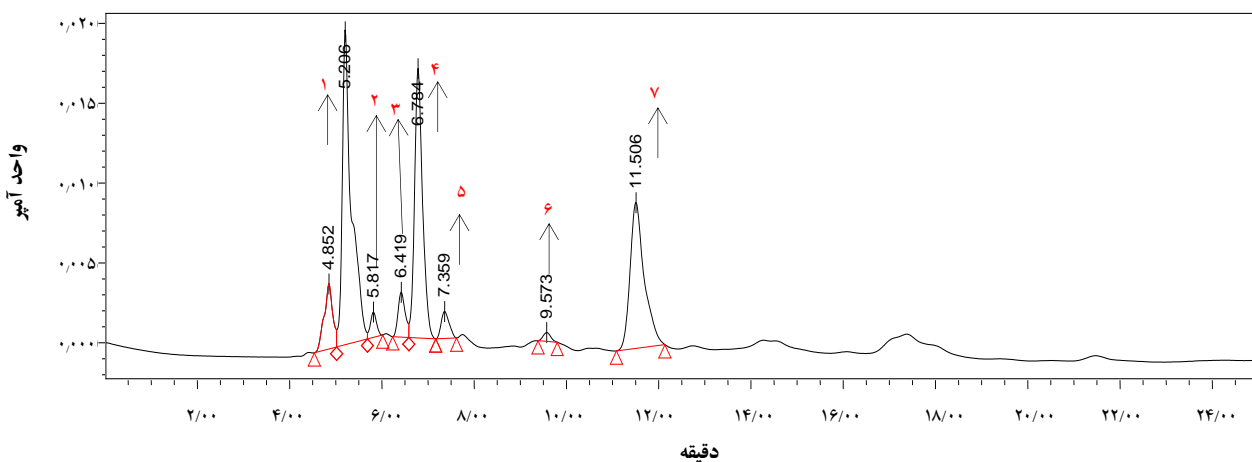
\* حروف نام‌گذاری نمونه عبارتند از: رقم، میوه و زرشک  $A = B.integerrima$  و  $P = B.vulgaris$  (پلو)؛ نمونه میوه و زرشک تازه  $Ctrl$ ، نمونه منجمد = نمونه شاهد. ۰، ۱، ۲، ۳، ۴، ۵، ۶، ۷، ۸، ۹ و ۱۰ پیکرهای شناسایی شده = Not Found = N.F؛ ۵۷ و ۵۸



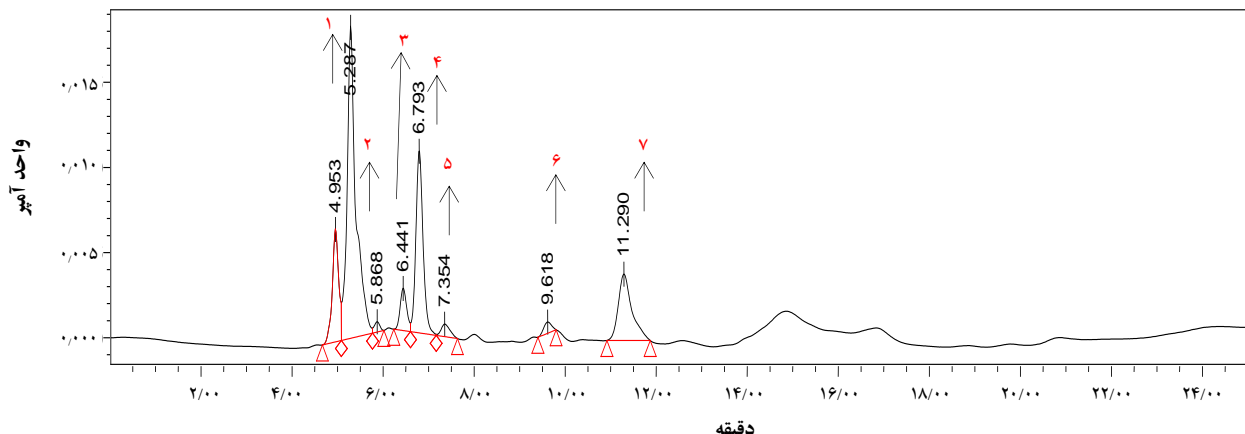
شکل ۲. کروماتوگرام اسیدهای آلی در میوه‌ی زرشک رقم آبی؛ ۱-اگزالیک، ۲-تارتاریک، ۳-کوینیک، ۴-مالیک، ۵-آسکوربیک، ۶-شیکیمیک، ۷-مالونیک، ۸-استیک، ۹-مالیک، ۱۰-سوکسینیک، ۱۱-فوماریک اسید.



شکل ۳. کروماتوگرام اسیدهای آلی در میوه‌ی زرشک رقم پلوی؛ ۱-اگزالیک، ۲-تارتاریک، ۳-کوینیک، ۴-مالیک، ۵-آسکوربیک، ۶-شیکیمیک، ۷-مالونیک، ۸-استیک، ۹-مالیک، ۱۰-سوکسینیک، ۱۱-فوماریک اسید.



شکل ۴. کروماتوگرام اسیدهای آلی در میوه‌ی زرشک رقم آبی با دز ۲.۵ kGy؛ ۱-اگزالیک، ۲-کوینیک، ۳-مالیک، ۴-آسکوربیک، ۵-شیکیمیک، ۶-استیک، ۷-مالیک اسید.



شکل ۵. کروماتوگرام اسیدهای آلی در میوه‌ی زرشک رقم پلویی با دز  $5\text{ kGy}$ : ۱-اگرالیک، ۲-کوینینیک، ۳-مالیک، ۴-آسکوربیک، ۵-شیکمیک، ۶-استیک، ۷-مالیک اسید.

[۲]. این نتایج موافق با نتایج این پژوهش در *B. integrifolia* بعد از دزهای  $7/5$  و  $10\text{kGy}$  است. محتوای مالیک اسید بادام تابش دهی شده با دزهای مختلف گاما، اندکی نوسان [۱۳] مشابه نمونه‌های میوه زرشک رقم  $5\text{kGy}$  داشتند. برخی دیگر دریافتند که تابش دهی، احتمالاً به علت افزایش سرعت تنفس، محتوای مالیک اسید را کاهش می‌دهد [۲۶]. نتایج اثر دزهای  $0/5$ ،  $1$ ،  $2/5$  و  $5\text{kGy}$  در *B. integrifolia* را می‌توان به این رخداد نسبت داد.

محتوای آسکوربیک اسید با دز  $10\text{kGy}$  در *B. vulgaris* و  $5\text{kGy}$  در *B. integrifolia* معنی دار داشت. احتمالاً این افزایش مقدار آسکوربیک اسید به علت غیرفعال شدن آنزیم‌های اکسیدکننده آن در دزهای نسبتاً بالای تابش دهی است [۲۹]. دزهای  $7/5\text{kGy}$  در *B. vulgaris* و  $0/5\text{kGy}$  در *B. integrifolia* محتوای آسکوربیک اسید نداشتند. سایر دزها در هر دو رقم محتوای آسکوربیک اسید را کاهش دادند.

در میوه‌ی کیوی بعد از تابش دهی در دزهای  $1$  تا  $3\text{kGy}$  مقدار آسکوربیک اسید کمتر از شاهد است، زیرا پرتوهای یونیزه کننده، بخشی از آسکوربیک اسید را به دهیدروآسکوربیک اسید تبدیل می‌کنند [۲۶]. تابش دهی  $0/5$  و  $1\text{KGy}$  در ابتدا و در طول دوره‌ی نگهداری در مقدار آسکوربیک اسید سبب، تأثیر معنی داری نداشت. البته کاهش محتوای آسکوربیک اسید در نتیجه‌ی تیمار با پرتوهای گاما در بعضی میوه‌ها گزارش شده است [۳۰]. در سال  $2013$  میلادی

کوینینیک اسید در اثر تابش دهی با دز  $10\text{kGy}$  بعد از سایر دزها غیر از  $5\text{kGy}$  در رقم پلویی افزایش معنی دار نشان داد. سایر دزها تأثیر معنی داری در محتوای کوینینیک اسید دو رقم نداشتند.

مشابه نتایج پژوهش حاضر، محققان دیگر نیز دریافتند که تابش دهی، آب سبب را کاهش، و برخی اسیدهای آلی از جمله کوینینیک اسید را افزایش داده است [۲۶]. کوینینیک اسید نمونه‌های بلوط پرتوندیله و تیمارشده با دزهای  $0/5$ ،  $1$ ،  $2/5$  و  $5\text{kGy}$  بعد از  $60$  روز انبارداری در یخچال ( $4^\circ\text{C}$ ) تمایل به کاهش دارد. نمونه‌های انبار شده به مدت  $30$  روز در این شرایط، مقادیر بیشتری کوینینیک اسید دارند. واکنش‌های ناشی از گرما بین اسیدهای کربوکسیلیک بدون نیتروژن و قدها مؤثرترین متغیرها در اسیدهای آلی هستند که موجب تغییرات مهم در مقدار آنها می‌شوند [۲].

محتوای مالیک اسید بعد از دزهای  $0/5$ ،  $1$ ،  $2/5$  و  $5\text{kGy}$  در *B. integrifolia* کاهش، و از سوی دیگر بعد از تیمار *B. integrifolia* در دزهای  $7/5$  و  $10\text{kGy}$  در اثر افزایش معنی دار نشان داد. تابش دهی اثر معنی داری بر محتوای مالیک اسید رقم پلویی نشان نداد.

محتوای مالیک اسید  $10$  تا  $15\%$  در غدد سیب زمینی پرتو گاما دیده افزایش یافته است [۲۷]. سوخت و ساز مالیک اسید که تا حدودی طی نگهداری رخ داده است، مقدار و توازن آن را با سایر اسیدها تغییر می‌دهد [۲۸]. در نمونه‌های بلوط تازه، مقادیر مالیک اسید بیشتری نسبت به نمونه‌های پرتودیده مشاهده شد



تابش دهی شده‌ی گاما نسبت به نمونه‌های تازه کاهش داشت [۱۳]. افزایش محتوای سوکسینیک اسید در آب سیب تابش دهی شده مشاهده شد [۲۶]. قله‌ی مربوط به فوماریک اسید بعد از تمام دزهای تابش دهی در هر دو رقم زرشک آبی و پلوبی تشخیص داده نشد.

**۲.۳ تأثیر فراوری بر نوع و غلظت ویتامین‌های محلول در آب**  
در نمونه‌ی شاهد، با استفاده از HPLC در دو رقم ویتامین‌های C، B<sub>6</sub>، B<sub>1</sub>، B<sub>5</sub>، فولیک اسید، بیوتین و B<sub>2</sub> شناسایی شدند. ترکیب و مقدار ویتامین‌های محلول در آب بعد از تابش دهی در جدول ۲ ارائه شده است (شکل‌های ۶ و ۷). از نظر بررسی آماری محتوای ویتامین‌های محلول در آب C، B<sub>6</sub>، B<sub>1</sub>، فولیک اسید، بیوتین و B<sub>2</sub> در تیمارهای پرتو فراوری شده با نمونه‌ی منجمد شده به مدت یک سال (به عنوان شاهد)، و در نمونه‌ی منجمد شده با نمونه‌ی تازه مقایسه شدند.

در کروماتوگرافی فاز معکوس، حل شونده‌های قطبی در پراکنده‌ی آبی ویتامین، جذب فاز ساکن لیپوفیل نمی‌شوند. در این شرایط، حجم‌های بازداری تکرار پذیر، عمر ستون طولانی و زمان آماده‌سازی نمونه کوتاه خواهد بود. در چنین سامانه‌ی کروماتوگرافیکی فاز معکوس، ویتامین‌های محلول در آب مانند آسکوربیک اسید حتی در حالت غیریونی هم بسیار قطبی‌اند که تمایل اندکی به فاز ساکن لیپوفیل دارند، در نتیجه با حلول در ابتدای کروماتوگرام خارج می‌شود [۳۱]. کروماتوگرافی هم‌زمان محلوتهای پیچیده، نیاز به برنامه‌ی گرادیان شویش دارد. هنگام استفاده از فاز متحرک متانول-بافر فسفات (pH برابر ۷) KH<sub>2</sub>PO<sub>4</sub> ۰,۱ M/L تمام قله‌ها بدون هم‌پوشانی و دنباله‌دار شدن به خوبی از هم جدا شدند. از سویی دیگر، ویتامین‌های B<sub>2</sub> و B<sub>12</sub> با طبیعت نسبتاً آب‌گریز، کاملاً محکم روی ستون بازداری و تنها هنگام استفاده از ۳۰٪ متانول در فاز متحرک با زمان بازداری طولانی تر در انتهای کروماتوگرام شسته می‌شوند [۳۲]. به همین منظور، در این پژوهش برای جداسازی مطلوب ویتامین‌های محلول در آب میوه‌ی دو رقم زرشک، از روش فاز معکوس در حالت گرادیان (تغییر ترکیب و سرعت جریان فاز متحرک) شویش و فاز متحرک متانول-بافر استفاده شده است. مقادیر ثابت تئکیک (pK<sub>a1</sub>) برای ویتامین‌های محلول در آب C (۴,۱۹)، B<sub>5</sub> (۴,۸۲)، B<sub>6</sub> (۴,۸۰)، B<sub>1</sub> (۵,۳۵)، فولیک اسید (۵,۳۵)، بیوتین (۶,۲۲) و B<sub>2</sub> (۱۰,۵۸) هستند [۳۳-۳۵].

Carocho و همکاران، کاهش محتوای آسکوربیک اسید شاهبلوط تابش دهی شده (۰,۵ kGy ۶ گاما) را بعد از ۶۰ روز نگهداری در دمای ۴۰°C را گزارش کردند [۲]. در این پژوهش هم برخی دزهای تابش دهی گاما، اثر کاهشی بر محتوای آسکوربیک اسید دو رقم زرشک آبی و پلوبی داشتند که می‌تواند در نتیجه‌ی تبدیل به دهیدروآسکوربیک اسید باشد. البته برخی دزها بی‌اثر بودند.

محتوای شیکیمیک اسید *B.integerrima* در نتیجه‌ی تیمار با دزهای ۷,۵ و ۱۰ kGy افزایش معنی‌دار نشان داد. تیمار با دزهای ۰,۵، ۱، ۰,۵ kGy اثر معنی‌داری بر محتوای شیکیمیک اسید آن نداشت و بعد از دز ۵ kGy، کاهش معنی‌دار داشت. در میوه‌ی زرشک *B.vulgaris* تیمارهای تابش دهی موجب افزایش محتوای این اسید شدند.

قله‌ی مالونیک اسید پس از تمام دزهای تابش دهی در رقم آبی تشخیص داده نشد. در *B.vulgaris* قله‌ی مالونیک اسید بعد از انجاماد (شاهد تابش دهی) و دزهای ۰,۵ و ۷,۵ kGy مشاهده شد که تفاوت معنی‌داری با هم نداشتند.

در محتوای استیک اسید، تابش دهی گاما با دزهای ۰,۵، ۲,۵ و ۵ kGy تفاوت معنی‌داری نسبت به نمونه‌ی منجمد (شاهد) ایجاد نکردند. دز ۷,۵ kGy افزایش معنی‌دار در محتوای استیک اسید رقم آبی ایجاد کرد. در محتوای استیک اسید رقم پلوبی فرایندهای انجاماد (شاهد) و دز ۰,۵ kGy افزایش، و سایر دزها کاهش معنی‌دار به وجود آوردند. در هر دو رقم، با دز ۱ kGy قله‌ی استیک اسید شناسایی نشد.

محتوای مالئیک اسید رقم آبی، بعد از تمام دزها کاهش معنی‌داری را نشان داد. دز ۰,۵ kGy بر محتوای مالئیک اسید رقم پلوبی اثر معنی‌داری نداشت. سایر دزها موجب افزایش معنی‌دار محتوای مالئیک اسید رقم پلوبی شدند.

محتوای سوکسینیک اسید در رقم آبی، بعد از تابش دهی گاما با دز ۵ kGy، افزایش معنی‌داری نسبت به نمونه‌ی منجمد نشان داد و بعد از سایر دزها، قله‌ی سوکسینیک اسید شناسایی نشد. در رقم پلوبی در اثر انجاماد (شاهد تابش دهی نشده)، سوکسینیک اسید مشاهده نشد. فقط بعد از تیمارهای ۷,۵ و ۱۰ kGy این اسید مشاهده شد که نسبت به نمونه‌ی منجمد (شاهد گاما) افزایش داشتند. بعد از سایر تیمارها هم سوکسینیک اسید در رقم پلوبی مشاهده نشد. محتوای سوکسینیک اسید بادام



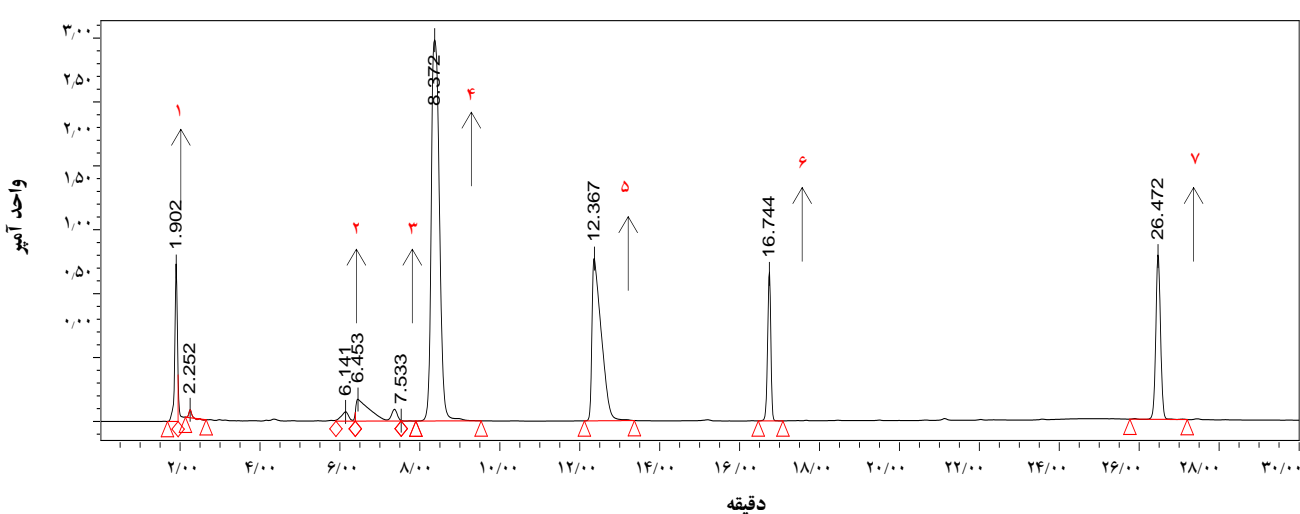
## جدول ۲. مقایسه‌ی تأثیر تیمارهای مختلف بر میزان ویتامین‌های محلول در آب (mg در 100 عصاره) استخراج شده از میوه‌ی دو رقم زرشک ایرانی آبی و پلویی

ویتامین B <sub>2</sub>	بیوتین	فولیک اسید	B <sub>1</sub>	ویتامین B <sub>6</sub>	ویتامین B <sub>5</sub>	C	ویتامین د نمونه
۵۷۰.۹۳ ± ۶.۰ <sup>B</sup>	۲۰۱۱.۸۴ ± ۲۴.۸۹ <sup>A</sup>	۱۵۹۱.۳۹ ± ۴۰.۱۷ <sup>B</sup>	۲۱۱۳.۰۰ ± ۱.۵۴ <sup>B</sup>	۳۱.۳۶ ± ۰.۰۲ <sup>A</sup>	۲۵۰.۶۰ ± ۲۸.۴۰ <sup>D</sup>	۴۶۰.۰۰ ± ۳.۵۷ <sup>A</sup>	A <sub>Ctrl</sub>
۵۸۶.۴۳ ± ۱۰.۶۹ <sup>A</sup>	۱۹۲۳.۴۳ ± ۴۲.۸۳ <sup>B</sup>	۱۷۰۰.۳۸ ± ۱۰.۱۳ <sup>A</sup>	۱۸۶۰.۴۲ ± ۳۰.۴۹ <sup>C</sup>	۲۴.۰۴ ± ۰.۷۶ <sup>B</sup>	۲۹۱۹.۱۸ ± ۱۰.۲۸ <sup>B</sup>	۲۰۸۲۵ ± ۴.۳۱ <sup>F</sup>	A <sub>γ</sub>
۵۴۱.۱۶ ± ۱۶.۹۲ <sup>BC</sup>	۱۹۰۶.۸۲ ± ۵۷.۹۱ <sup>B</sup>	۱۲۳۰.۲۳ ± ۵۶.۱۶ <sup>D</sup>	۱۷۸۷.۸۶ ± ۱۷۵.۲۸ <sup>D</sup>	۲۵.۱۸ ± ۰.۴۹ <sup>B</sup>	۱۸۲۴.۰۸ ± ۶۵۲.۵۵ <sup>H</sup>	۴۵۳.۱۱ ± ۱۰.۱۴ <sup>A</sup>	A <sub>γ/۰</sub>
۴۹۰.۵۱ ± ۲۰.۴۲ <sup>C</sup>	۱۸۸۱.۳۳ ± ۳۷۱.۰۹ <sup>C</sup>	۱۵۱۰.۵۹ ± ۱.۷۶ <sup>B</sup>	۱۳۹۴.۹۲ ± ۷۹.۰۷ <sup>G</sup>	۲۴.۴۰ ± ۴.۷۶ <sup>B</sup>	۱۵۷۷.۱۸ ± ۱۱۳۶.۶۶ <sup>I</sup>	۳۹۶.۱۸ ± ۶.۹۴ <sup>B</sup>	A <sub>γ۱</sub>
۴۰.۸۲۴ ± ۴۳.۱۶ <sup>D</sup>	۱۷۲۰.۱۷ ± ۴۲۶.۶۵ <sup>D</sup>	۱۵۸۴.۲۰ ± ۸۵.۸۸ <sup>B</sup>	۱۸۰.۱۱ ± ۱۷.۰۵ <sup>D</sup>	۲۳.۲۴ ± ۰.۸۳ <sup>C</sup>	۲۳۱۶.۴۵ ± ۲۵۲.۹۳ <sup>F</sup>	۳۷۶.۷۴ ± ۰.۰۵ <sup>C</sup>	A <sub>γ۷/۵</sub>
۳۰.۴.۱۸ ± ۱۳.۶۷ <sup>E</sup>	۱۴۲۸.۱۵ ± ۲۲۴.۰۰ <sup>E</sup>	۱۳۴۷.۹۲ ± ۱۱۰.۹۸ <sup>C</sup>	۱۶۶۷.۱۹ ± ۱۵۴.۹۹ <sup>E</sup>	۲۱.۰۴ ± ۱.۰۴ <sup>D</sup>	۲۴۳۳.۲۳ ± ۲۹۵.۸۷ <sup>E</sup>	۳۱۷.۷۴ ± ۴۲.۹۹ <sup>D</sup>	A <sub>γ۵</sub>
۲۷۷.۳۴ ± ۱۷.۱۵ <sup>EF</sup>	۱۴۰.۴.۶۳ ± ۳۰.۱۶۹ <sup>F</sup>	۹۷۴.۱۱ ± ۱۲۴.۲۸ <sup>E</sup>	۱۳۴۳.۴۲ ± ۱۰۰.۹۷ <sup>H</sup>	۲۱.۶۶ ± ۰.۴۳ <sup>C</sup>	۲۵۵۹.۸۱ ± ۲۰.۲۴ <sup>C</sup>	۲۸۹.۶۵ ± ۱۰.۱۹ <sup>D</sup>	A <sub>γ۷/۵</sub>
۵۷۰.۹۳ ± ۶.۰ <sup>B</sup>	۲۰۱۱.۸۴ ± ۲۴.۸۹ <sup>A</sup>	۱۵۹۱.۳۹ ± ۴۰.۱۷ <sup>B</sup>	۲۱۱۳.۰۰ ± ۱.۵۴ <sup>B</sup>	۳۱.۳۶ ± ۰.۰۲ <sup>A</sup>	۲۵۰.۶۰ ± ۲۸.۴۰ <sup>D</sup>	۴۶۰.۰۰ ± ۳.۵۷ <sup>A</sup>	A <sub>γ۱</sub>
۲۹۷.۱۹ ± ۳۲.۲۱ <sup>E</sup>	۳۲۴.۷۲ ± ۶۵.۶۵ <sup>G</sup>	۱۰۴.۷۸ ± ۸.۵۰ <sup>F</sup>	۲۲۹۸.۱۵ ± ۵۶.۲۸ <sup>A</sup>	۱۱.۸۹ ± ۰.۱۲ <sup>E</sup>	۲۵۸۱.۷۰ ± ۱۰.۸۷۱ <sup>C</sup>	۲۴۲.۹۶ ± ۸.۴۵ <sup>E</sup>	P <sub>Ctrl</sub>
۲۹۵.۴۹ ± ۹.۸۱ <sup>E</sup>	۳۳۸.۸۹ ± ۱۱.۷۶ <sup>G</sup>	۱۰۳.۶۲ ± ۳۷.۴۶ <sup>F</sup>	۱۴۲۰.۵۷ ± ۱۳.۷۵ <sup>F</sup>	۱۱.۱۹ ± ۱.۰۵ <sup>E</sup>	۲۱۹۹.۳۵ ± ۳۹.۰۲ <sup>F</sup>	۱۸۱.۸۸ ± ۲.۰۵ <sup>G</sup>	P <sub>γ۰</sub>
۲۱۰.۸۱ ± ۴.۸۷ <sup>FG</sup>	۱۸۶.۱۳ ± ۱.۹۷ <sup>G</sup>	۹۴.۸۸ ± ۴.۸۷ <sup>F</sup>	۱۴۲۷.۰.۶ ± ۸.۳۴ <sup>F</sup>	۹.۷۷ ± ۱.۴۹ <sup>E</sup>	۱۹۴۶.۳۸ ± ۴.۰۹۷ <sup>G</sup>	۱۷۴.۹۴ ± ۰.۱۲ <sup>I</sup>	P <sub>γ/۰</sub>
۸۶.۰.۳ ± ۸.۰۹ <sup>H</sup>	۱۱۸.۳۳ ± ۱۰.۴۶ <sup>G</sup>	۹۶.۵۶ ± ۱۵.۶۶ <sup>F</sup>		۱۲.۱۳ ± ۴.۸۹ <sup>E</sup>	۲۲۰.۶.۶۴ ± ۱۳۲.۸۷ <sup>F</sup>	۱۷۲.۱۲ ± ۴.۰۰ <sup>I</sup>	P <sub>γ۱</sub>
۸۷.۵۲ ± ۱۶.۱۱ <sup>HI</sup>	۱۷۲.۸۳ ± ۱۸.۷۶ <sup>G</sup>	۷۹.۵۱ ± ۷۸.۷۴ <sup>FG</sup>	۱۲۷۹.۹۷ ± ۱.۸۳ <sup>I</sup>	۱۱.۸۶ ± ۰.۲۱ <sup>E</sup>	۲۲۰.۶.۱۲ ± ۱۵۳.۸۱ <sup>F</sup>	۱۷۶.۲۳ ± ۶.۶۶ <sup>H</sup>	P <sub>γ۷/۵</sub>
۳۰.۶۷ ۴.۲۲ <sup>HI</sup>	۱۳۱.۰۵ ± ۱۳.۷۰ <sup>G</sup>	۷۰.۷۶ ± ۴.۴۴ <sup>FG</sup>	۸۸.۰.۷۹ ± ۸۵.۷۵ <sup>K</sup>	۱۰.۹۷ ± ۰.۳۷ <sup>E</sup>	۱۵۰.۹.۴۸ ± ۳۴۲.۶۲ <sup>I</sup>	۶۳.۹۰ ± ۱۸.۲۲ <sup>J</sup>	P <sub>γ۰</sub>
۶.۷۹ ± ۶.۶۵ <sup>I</sup>	۳۰.۴.۰۷ ± ۲.۵۵ <sup>G</sup>	N.F. <sup>G</sup>	۲۱۷.۷۶ ± ۶۰.۹۹ <sup>L</sup>	۱۲.۷۰ ± ۱.۹۸ <sup>E</sup>	۳۱۱.۰.۸۸ ± ۱۵۹.۷۹ <sup>A</sup>	۱۶۷.۴۶ ± ۳۹.۵۹ <sup>I</sup>	P <sub>γ۷/۵</sub>
۲۹۷.۱۹ ± ۳۲.۲۱ <sup>E</sup>	۳۲۴.۷۲ ± ۶۵.۶۵ <sup>G</sup>	۱۰۴.۷۸ ± ۸.۵۰ <sup>F</sup>	۲۲۹۸.۱۵ ± ۵۶.۲۸ <sup>A</sup>	۱۱.۸۹ ± ۰.۱۲ <sup>E</sup>	۲۵۸۱.۷۰ ± ۱۰.۸۷۱ <sup>C</sup>	۲۴۲.۹۶ ± ۸.۴۵ <sup>E</sup>	P <sub>γ۱</sub>

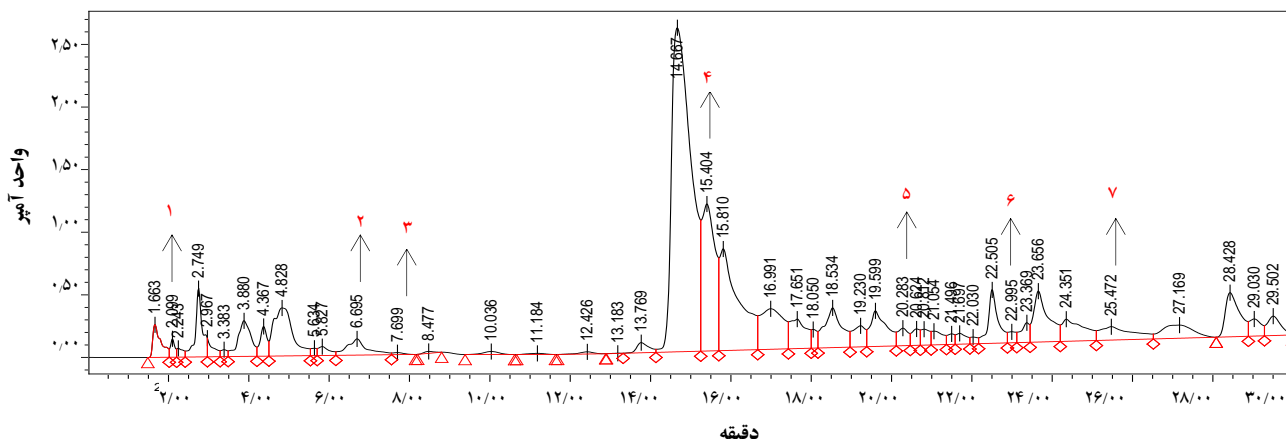
\*حروف نام‌گذاری نمونه عبارتند از: رقم میوه‌ی زرشک تازه کترول، نمونه‌ی B. *vulgaris* (پلویی) و P = B. *integerrima* = A (آبی) و N.F. = نمونه‌ی شاهد. <sup>۰</sup>۰، نمونه‌های تابش دهی شده با گاماتی ۱، ۰.۵، ۰.۵، ۰.۵، ۰.۵ و ۰.۵ kGy و ۰.۵، ۰.۵، ۰.۵، ۰.۵، ۰.۵، ۰.۵ قله‌های شناسایی نشده = Not Found = N.F.

<sup>۱</sup>نوجمدم = نمونه‌ی شاهد. <sup>۰</sup>۰، نمونه‌های تابش دهی شده با گاماتی ۱، ۰.۵، ۰.۵، ۰.۵، ۰.۵، ۰.۵، ۰.۵، ۰.۵، ۰.۵ قله‌های شناسایی نشده = Not Found = N.F.

<sup>۲</sup>حروف بزرگ مشابه در هر ستون اختلاف معنی داری را نشان نمی‌دهند (P<0.05)، اعداد جدول مقادیر میانگین ± انحراف میانگیار (S.D.) و ۳ تکرار برای هر تیمار است.



شکل ۶. کروماتوگرام استاندارد ویتامین‌های محلول در آب؛ ۱: آسکوربیک اسید؛ ۲: پانتوتیک اسید؛ ۳: پیریدوکسین (B<sub>6</sub>)؛ ۴: تیامین (B<sub>1</sub>)؛ ۵: فولیک اسید؛ ۶: بیوتین؛ ۷: ریوفلاوین (B<sub>۲</sub>).



شکل ۷. کروماتوگرام استاندارد ویتامین‌های محلول در آب میوه‌ی زرشک پرتو دیده (B<sub>2</sub>/۰.۵ kGy) ۱: آسکوربیک اسید؛ ۲: پانتوتیک اسید (B<sub>5</sub>)؛ ۳: پیریدوکسین (B<sub>6</sub>)؛ ۴: تیامین (B<sub>1</sub>)؛ ۵: فولیک اسید؛ ۶: بیوتین؛ ۷: ریبوفلاوین (B<sub>2</sub>).

محتوای ویتامین C رقم آبی بعد از دز ۱ kGy تفاوت معنی‌داری نسبت به شاهد نشان نداد، اما در رقم پلویی کاهش داشت. محتوای ویتامین C هر دو رقم بعد از دزهای ۰/۵، ۰/۵، ۵، ۷/۵ و ۱۰ kGy نسبت به شاهد کاهش معنی‌داری نشان دادند. ویتامین C به علت تجزیه، اکسید شدن، آبکافت و بسپارش به محصولات غیرفعال، طی فراوری کاهش نشان می‌دهد [۳۸]. روش‌های فراوری ممکن است آسکوربیک اکسیداز را به طور برگشت‌ناپذیری غیرفعال کنند، اما هم‌چنان کاهش محتوای ویتامین C در نتیجه‌ی تجزیه شدن به ترکیباتی مانند دی‌کتو گلوكونیک اسید مشاهده می‌شود [۴۲-۴۹]. تغییرات ویتامین C طی تابش دهی احتمالاً بیشتر به واسطهٔ تغییرات متabolیکی در بافت‌های گیاهی تا تغییرات شیمیابی رخ می‌دهد [۴۳]. ویتامین C که حساس‌ترین ویتامین محلول در آب در برابر تابش دهی گاما است، در دو رقم اسفناج در دز ۰/۵ kGy، کیوی در دز ۰/۵ kGy، فلفل سیاه، دارچین، جوز و آویشن در دز ۱۰ kGy و میوه‌ی چینی لیسیوم با افزایش دز گاما از ۲ تا ۱۴ kGy کاهش داشت [۴۴-۴۷]. محتوای ویتامین C دو رقم زرشک آبی و پلویی بعد از تمام دزها، کاهش معنی‌دار داشت و فقط در رقم آبی بعد از تیمار با دز ۱ kGy، تغییر معنی‌داری نکرده است. در توت‌فرنگی بلافضله بعد از تابش دهی، دهیدروآسکوربیک اسید افزایش یافت، بنابراین با وجود اکسایش آسکوربیک اسید، کاهش در محتوای ویتامین C (آسکوربیک اسید + دهیدروآسکوربیک اسید) تنها حدود ۵٪ نشان داده می‌شود [۴۰].

مقادیر ثابت تفکیک (pK<sub>a1</sub>) کوچک‌تر، نشان‌دهندهٔ تفکیک پذیری بیشتر، و تشکیل گونه‌های یونی با قطبیت بیشتر است. ویتامین‌های B<sub>1</sub>, B<sub>5</sub>, C, B<sub>6</sub> با داشتن ثابت تفکیک کوچک‌تر و تشکیل مقادیر بیشتری از گونه‌های یونی به فاز متحرك، تمايل بیشتری دارد و زودتر از ستون با طبیعت غیرقطبی خارج می‌شود، پس باید قله‌های ابتدایی کروماتوگرام را به خود اختصاص دهنند. هم‌چنین قله‌های مربوط به ویتامین‌های با آب‌گریزی بیشتر و تفکیک پذیری کم‌تر مانند فولیک اسید، بیوتین و ریبوفلاوین (B<sub>2</sub>) در انتهای کروماتوگرام شسته می‌شوند. در مطالعه‌ی حاضر، ترتیب خروج از همین الگو پیروی کرد. به طور کلی، عوامل گوناگونی بر پایداری و بقای ویتامین‌ها در فراوری مؤثرند. برخی از ائتلاف ویتامین‌ها در یخچال به علت تماس با اکسیژن و حضور نور است [۳۶]. در پرتو فراوری، ویتامین‌های محلول در آب در معرض رادیکال‌های حاصل از تابش دهی آب هستند. برخی ویتامین‌های محلول در آب ممکن است مستقیماً با الکترون‌های هیدراته یا الکترون حاصل از سایر رادیکال‌های تولید شده در محیط آبی واکنش دهند. چون ویتامین‌ها مقدارشان در غذا بسیار کم است، رادیکال‌های هیدروکسیل بیشتر با سایر ترکیبات عمدۀی غذاها مانند لیپیدها، پروتئین‌ها و کربوهیدرات‌ها نسبت به ویتامین‌ها واکنش می‌دهند. بنابراین ویتامین‌ها بیشتر از هیدروکسیل‌ها، یعنی رادیکال‌های ثانویه‌ی تشکیل شده در اثر برهم‌کنش‌ها با ترکیبات اصلی، اثرپذیرند [۳۷].



واقع، تیامین به دما حسایت بیشتری نسبت به تابش دهی دارد [۱۴، ۴۳، ۴۷]. محتوای ویتامین  $B_1$  دو رقم زرشک آلبی و پلووی بعد از اغلب دزهای گاما کاهش معنی دار داشته است. افزایش مقدار تیامین بعد از بیشترین دز تابش دهی، یعنی  $10\text{ kGy}$  را شاید بتوان به افزایش کارایی استخراج نسبت داد.

محتوای فولیک اسید در رقم آلبی بعد از تیمار با تمام دزهای تابش دهی گاما و در رقم پلووی بعد از دزهای  $2,5$  و  $5\text{ kGy}$  کاهش معنی دار را نسبت به شاهد نشان دادند. تیمار با پرتوهای گاما دزهای  $1,0$  و  $10\text{ kGy}$ ، تفاوت معنی دار آماری نشان نداد. ویتامن  $-5$ - متیل ترا هیدروفولات (فولات) فعال ترین شکل فولات از نظر زیستی در سلامت انسان است. تابش دهی موجب کاهش فولات اسفناج شده است. فولات در بافت های تازه و دارای آب، به تابش دهی گاما حساس است [۴۴]. محتوای فولیک اسید در فراورده های گوشتی در دز تابش دهی گاما  $3$  تا  $4\text{kGy}$  حدود  $30\%$  کاهش نشان داد و در دزهای پایین تر اثر معنی داری نداشت [۴۹].

مقدار ویتامین بیوتین در رقم آلبی بعد از تیمارهای  $1,5$ ،  $2,5$ ،  $5$  و  $7,5\text{ kGy}$  کاهش معنی دار را نسبت به شاهد نشان داد. در رقم پلووی، تیمارهای  $1,0$ ،  $2,5$ ،  $5$  و  $7,5\text{ kGy}$  تفاوت معنی داری را نسبت به شاهد ایجاد نکردند. برای بیوتین در محصولات گوشتی تا دزهای  $20$  تا  $40\text{ kGy}$  هم کاهش معنی دار مشاهده نشده است [۳۷]. مقدار ویتامین های موجود در یک گونه ای مشخص گیاه به طور قابل توجهی بسته به رقم، شرایط رشد، بلوغ، شرایط نگهداری پس از برداشت و فرایند آن متغیر است [۵۰، ۵۱]. در رقم پلووی هم تمام دزهای گاما، اثر معنی داری بر محتوای بیوتین ایجاد نکرد، اما رقم آلبی در همه دزها کاهش معنی دار داشت. شاید این اثر را بتوان به مقدار متفاوت ویتامین در دو رقم نسبت داد.

محتوای ویتامین  $B_2$  در دو رقم تابش دهی گاما  $1,0$ ،  $2,5$ ،  $5$  و  $7,5\text{ kGy}$  کاهش معنی دار نسبت به شاهد داشتند. در برخی مواد غذایی، عدم تغییر یا حتی افزایش هم بعد از تیمار با گاما در محتوای  $B_2$  مشاهده شده است، اما برخی مطالعات هم کاهش را گزارش کرده اند. این موضوع شاید به دلیل تبدیل پیش سازها به ویتامین فعال یا افزایش کارایی استخراج در نتیجه تابش دهی باشد [۱۴، ۳۷، ۴۳، ۴۷].

محتوای ویتامین  $B_5$  در میوه هی رقم آلبی بعد از همه دزها، و در رقم پلووی بعد از دزهای  $0,5$  و  $5\text{ kGy}$  کاهش معنی دار داشتند. در رقم پلووی بعد از دزهای  $7,5$  و  $10\text{ kGy}$ ، افزایش معنی دار نسبت به شاهد نشان دادند و بعد از سایر دزها تفاوت معنی داری نداشتند. پنتوئنیک اسید ( $B_5$ ) در برابر حرارت، نور و  $\text{pH}$  برابر  $5$  تا  $7$  پایدار است [۴۸]. درباره ویتامین  $B_5$  بسیاری از مطالعات در دزهای تابش دهی بیشتر  $10\text{ kGy}$  کاهشی در مقدار آن را در بسیاری مواد غذایی گزارش نکردند [۳۷]. در رقم پلووی هم محتوای ویتامین  $B_5$  در دز  $7,5$  و  $10\text{ kGy}$  افزایش معنی دار داشتند.

مقدار ویتامین  $B_6$  در رقم آلبی، بعد از تیمارهای تابش دهی گاما با دزهای  $0,5$  و  $1\text{ kGy}$  تفاوت معنی داری با شاهد نداشتند. بعد از دزهای  $2,5$ ،  $5$  و  $7,5\text{ kGy}$  کاهش، و بعد از  $10\text{ kGy}$  افزایش معنی دار نشان دادند. محتوای ویتامین  $B_6$  در رقم پلووی بعد از تابش دهی گاما با دزهای  $1,0$ ،  $2,5$ ،  $5$  و  $7,5\text{ kGy}$  نسبت به شاهد تفاوت معنی داری نداشتند. کاهش معنی دار ویتامین  $B_6$  گوشت در دزهای زیر  $10\text{ kGy}$  گزارش نشده است [۳۷]. در رقم پلووی هم تمام دزهای گاما و در رقم آلبی دزهای  $0,5$  و  $1\text{ kGy}$  اثر معنی داری بر محتوای  $B_6$  ایجاد نکردند.

محتوای ویتامین  $B_1$  در میوه هی دو رقم بعد از تابش دهی گاما با دز  $10\text{ kGy}$  نسبت به شاهد افزایش، و در سایر دزها در دو رقم کاهش معنی دار داشته است. تخریب اکساینده (حساس ترین ویتامین گروه  $B$  به تابش دهی) مسئول از بین رفت ویتامین  $B_1$  (وابسته به دز) است. هنگام تابش دهی  $B_1$  کاهش در جذب طیف سنجی آن، تخریب حلقه ای پیریمیدین آن را نشان می دهد. از دست دادن گروه آمین مشاهده می شود و این واکنش متناسب با دز پرتو، آمونیاک تولید می کند [۳۷]. تابش دهی گاما کاهش زیادی در محتوای  $B_1$  (ویتامین) سور گوم ایجاد می کند. وقتی محصولات در حضور رطوبت و اکسیژن تابش دهی می شوند، کاهش ها را می توان به تشکیل رادیکال های آزاد اولیه ای بسیار فعال از محصولات رادیولیتیک آب و شاید محصولات ثانویه ای واکنش مانند هیدروپرو کسیدها نسبت داد که احتمالاً به ویتامین ها حمله می کند [۳۹]. با تمهداتی مانند کاهش دما در دزهای بالاتر یا حذف اکسیژن از محیط، می توان افت مقدار را کاهش داد. در



دزهای پایین‌تر، یعنی زیر  $5 \text{ kGy}$ ، این ترکیبات بهتر حفظ می‌شوند.

## پی‌نوشت‌ها

1. Berry
2. Recommended Daily Intakes (RDIs)
3. Gamma cell-220 irradiator
4. Dispersion

## مراجع

- [1] M. Pouyan, Barberry economical aspects and production, Gahestan Publishing, Birjand, Iran (In Farsi), First Edition, (2008) 1-200.
- [2] M. Carocho, L. Barros, A.L. Antonio, J.C.M. Barreira, A. Bento, I. Kaluska, I.C.F.R. Ferreira, Analysis of organic acids in electron beam irradiated chestnuts (*Castanea sativa* Mill): Effects of radiation dose and storage time, *Food Chem. Toxicol.* **55** (2013) 348-352.
- [3] J. Wu, H. Gao, L. Zhao, Z. Liao, F. Chen, Zh. Wang, X. Hu, Chemical compositional characterization of some apple cultivars, *Food Chem.* **103** (2007) 88-93.
- [4] N. Hounsome, B. Hounsome, D.G. Tomas, Edwards-Jones, Plant metabolites and nutritional quality of vegetables, *J. Food Sci.* **73(4)** (2008) R48-R64.
- [5] F. Koyuncu, Organic acid composition of native black mulberry fruit, *Chem. Nat. Compd.* **40(4)** (2004) 367-369.
- [6] A. Aarabi, M. Barzegar, M.H. Azizi, Effect of cultivar and cold storage of pomegranate (*Pumica granatum* L.) juices on organic acid composition, *ASEAN Food J.* **15(1)** (2008) 45-55.
- [7] A.G. Prez, R. Olias, J. Espada, J.M. Olias, C. Sanz, Rapid determination of sugars, nonvolatile acids, and ascorbic acid in strawberry and other fruits, *J. Agr. Food Chem.* **45** (1997) 3545-3549.
- [8] Anonymous, Separating water soluble vitamins by reversed phase HPLC using a discovery C<sub>18</sub> column, SUPELCO, USA. *Application Note 148* (2000) 1-20.

## ۴. نتیجه‌گیری

اسیدهای تاریک و فوماریک بعد از تمام دزها، و مالونیک و سوکسینیک بعد از اغلب دزهای پرتو فراوری در دو رقم مشاهده شدند. مقدار آسکوربیک اسید بعد از اغلب دزها، در هر دو رقم کاهش نشان داد که می‌توان به تبدیل شدن آن به دهیدروآسکوربیک اسید نسبت داد. مقادیر اگزالیک و شیکیمیک اسید بعد از اغلب دزها افزایش داشتند که البته در برخی موارد تغییرات معنی دار نبود. مقدار اسید استیک در رقم آبی افزایش، و در رقم پلویی بعد از اغلب دزهای تابش دهی کاهش داشت. کاهش مقدار اسیدهای کوینینیک، مالیک و مالیک در رقم آبی، و افزایش آنها در رقم پلویی بعد از اغلب دزهای تابش دهی مشاهده شد. کاهش اسیدهای آلی بعد از تابش دهی را می‌توان به علت اکسایش هوازی و تجزیه‌ی بی‌هوازی دانست. مقدار ویتامین C در رقم آبی بعد از تمام دزها، و در رقم پلویی بعد از  $10 \text{ kGy}$  افزایش داشت. سایر دزها در رقم پلویی کاهش معنی دار ایجاد کردند. افزایش ویتامین B<sub>5</sub> بعد از دزهای  $7/5$  و  $10 \text{ kGy}$  در رقم پلویی رخ داد. در محتوای ویتامین B<sub>5</sub> بعد از دزهای  $1$  و  $2/5 \text{ kGy}$  در رقم پلویی تغییری حاصل نشد و کاهش بعد از سایر دزها در دو رقم مشاهده شد. افزایش ویتامین B<sub>6</sub> بعد از دز  $10 \text{ kGy}$  و کاهش بعد از دزهای  $5$  و  $2/5 \text{ kGy}$  در رقم آبی مشاهده شد. سایر تغییرات دو رقم معنی دار نبودند. تیامین بعد از دز  $10 \text{ kGy}$  در دو رقم افزایش نشان داد و در رقم پلویی بعد از دز  $0/5 \text{ kGy}$  تفاوت معنی داری وجود نداشت و بعد از سایر تیمارها در دو رقم کاهش داشت. محتوای فولیک اسید در رقم پلویی بعد از دزهای  $1$  و  $0/5 \text{ kGy}$  تفاوت معنی داری نشان دادند. بعد از سایر دزها در هر دو رقم کاهش داشت. کاهش بیوتین بعد از تمام دزهای تابش دهی در رقم آبی مشاهده شد، اما در رقم پلویی تغییرات معنی دار نبودند. محتوای ویتامین B<sub>2</sub> بعد از تمام دزها در دو رقم کاهش داشت. عواملی مانند رقم، شرایط کاشت، برداشت، نگه داری و محتوای رطوبت در تأثیر پرتوهای گاما بر ترکیبات زیست فعال میوه‌ها مهم هستند و نمی‌توان برای تمام انواع این ترکیبات که در این پژوهش مطالعه شده‌اند، یک دز بهینه را پیشنهاد کرد. به عبارتی، با توجه به ترکیب مورد نظر در رقم خاص باید این دز را تعیین نمود. در مجموع می‌توان گفت که در



- [9] P.F. Chatzimichalakis, V.F. Samanidou, R. Verpoorte, I.N. Papadoyannis, Development of a validated HPLC method for the determination of B-complex vitamins in pharmaceuticals and biological fluids after solid phase extraction, *J. Separ. Sci.* **27** (2004) 1181-1188.
- [10] Ch.M. Cho, J.H. Ko, W.J. Cheong, Simultaneous determination of water-soluble vitamins excreted in human urine after eating an overdose of vitamin pills by HPLC method coupled with a solid phase extraction, *Talanta* **51** (2000) 799-806.
- [11] P. Moreno, V. Salvado, Determination of eight water- and fat- soluble vitamins in multi-vitamin pharmaceutical formulation by high performance liquid chromatography, *J. Chromatogr. A* **870** (2000) 207-215.
- [12] A. Mortazavi, A. Motamedzadegan, H.R. Ziaolhagh, Non-thermal preservation of food, Ferdowsi university of Mashhad Publishing, Mashhad, Iran (In Farsi), First Edition, (2008) 219-291.
- [13] P. Sanchez-Bel, I. Egea, F. Romojaro, M.C. Martinez-Madrid, Sensorial and chemical quality of electron beam irradiated almonds (*Prunus amygdalus*), *LWT* **41** (2008) 442-449.
- [14] L.M. Crawford, E.H. Ruff, A review of the safety of cold pasteurization through irradiation, *Food Control* **7(2)** (1996) 87-97.
- [15] P. Siddhuraju, H.P.S. Makkar, K. Becker, Review- The effect of ionizing radiation on anti-nutritional factors and the nutritional value of plant materials with reference to human and animal food, *Food Chem.* **78** (2002) 187-205.
- [16] H. Alighourchi, M. Barzegar, S. Abbasi, Effect of gamma irradiation on the stability of anthocyanins and shelf-life of various pomegranate juices, *Food Chem.* **110** (2008) 1036-1040.
- [17] G. Motalleb, P. Hanachi, S.H. Kua, O. Fauziah, R. Asmah, Evaluation of phenolic content and total antioxidant activity in *Berberis vulgaris* fruit extract, *J. Biol. Sci.* **5 (5)** (2005) 648-653.
- [18] A. Molaei, K. Rezaei, F. Khodaeian, S.H. Razavi, The separation of functional compounds from barberry fruit extract. In National Conference of Functional Foods, Ferdowsi University of Mashhad, (2010) 341–350 (Farsi).
- [19] A. Sharifi, H. Tavakkolpour, A. Maskooki, A.H. Elhamifard, The evaluation of Barberry color extraction methods. 18th National Congress of Food Science and Industry, Mashhad, (2008) 1-20 (Farsi).
- [20] S. Berenji Ardestani, M.A. Sahari, M. Barzegar. Some physicochemical properties of Iranian native barberry fruits (abi and poloei): *Berberis integerrima* and *Berberis vulgaris*, *J. Food Pharm. Sci.* **1** (2013) 67-74.
- [21] R. Ekinci, The effect of fermentation and drying on the water soluble content of Tarhana, a traditional Turkish cereal food, *Food Chem.* **90** (2005) 127-132.
- [22] E. Toprak Aktas, H. Yildiz, Effect of electro-plasmolysis treatment on chlorophyll and carotenoid extraction yield from spinach and tomato, *J. Food Eng.* **106** (2011) 339-346.
- [23] M. Igual, E. Garcia-Martinez, M.M. Camacho, M. Navarrete, Effect of thermal treatment and storage on stability of organic acids and the functional value of grapefruit juice, *Food Chem.* **118** (2010) 291-299.
- [24] H. Getinet, T. Seyoum, K. Woldetsadik, The effect of cultivar, maturity stage and storage environment on quality of tomatoes, *J. Food Eng.* **87** (2008) 467-478.
- [25] A.M. Wani, P.R. Hussain, R.S. Meena, M.A. Dar, Effect of gamma irradiation and Refrigerated storage on the improvement of quality and shelf Life of pear (*Pyrus communis* L., Cv. Bartlett/William), *Radiat. Phys. Chem.* **77** (2008) 983-989.
- [26] K.H. Kim, H.S. Yook, Effect of gamma irradiation on quality of kiwi fruit (*Actinidia deliciosa* var. *deliciosa* cv. Hayward), *Radiat. Phys. Chem.* **78** (2009) 414-421.
- [27] G. Lisinska, K. Aniolowski, Organic acids in potato tubers: Part 2- The effect of gamma irradiation on citric and malic acid contents of potato tubers, *Food Chem.* **40** (1991) 207-212.



- [28] K. Marsh, S. Attanayake, S. Walker, A. Gunson, H. Boldinh, E. Macrae, Acidity and taste in kiwi fruit, *Postharvest Biol. Tec.* **32** (2004) 159-168.
- [29] X. Fan, B.A. Niemera, J.P. Mattheis, H. Zhuang, D.W. Olson, Quality of fresh-cut apple slices as affected by low dose ionizing radiation and calcium ascorbate treatment, *J. Food Sci.* **70(2)** (2005) s143-s148.
- [30] A. Rawson, A. Patras, B.K. Tiwari, F. Noci, T. Koutchma, N. Brunton, Review- Effect of thermal and non- thermal processing technologies on the bioactive content of exotic fruits and their products: *Rev. Recent Adv. Food Res. Int.* **44(7)** (2011) 1875-1887.
- [31] S.P. Sood, L.E. Sartori, D.P. Wittmer, W.G. Haney, High-pressure liquid chromatographic determination of ascorbic acid in selected foods and multivitamin products, *Anal. Chem.* **48(6)** (1976) 796-798.
- [32] H.B. Li, F. Chen, Simultaneous determination of nine water soluble vitamins in pharmaceutical preparations by high performance liquid chromatography with diode array detection, *J. Separ. Sci.* **24** (2001) 271-274.
- [33] L.Sh. Li, Sh.L. Da, Y.Q. Feng, M. Liu, Study on the chromatographic behavior of water soluble vitamins on *p*-*tert*-butyl-calix-[8]arene-bonded silica gel stationary phase by HPLC, *Talanta* **64** (2004) 373-379.
- [34] J.L. Chastain, D.M. Bowers-Komro, D.B. McCrmick, High performance liquid chromatography of biotin and analogues, *J. Chromatogr.* **330** (1985) 153-158.
- [35] J. Ghasemi, S. Ghobadi, B. Abbasi, M. Kubista, Spectrophotometric determination of acidity constants of group B vitamins in different ionic strengths at  $25\pm0.1^{\circ}\text{C}$ , *J. Korean Chem. Soc.* **49(3)** (2005) 269-277.
- [36] S. Severi, G. Bedogni, M.A. Manzier, M. Poli, N. Battistini, Effects of cooking and storage methods on the micronutrient content of foods, *Eur. All J. Canc. Prev.* **6(1)** (1997) 521-524.
- [37] M. Giroux, M. Lacroix, Nutritional adequacy of irradiated meat-a review, *Food Res. Int.* **31(4)** (1998) 257-264.
- [38] D. Perez-Conesa, J. Garcia-Alonso, V. Garcia-Valverde, M.D. Niesta, K. Jacob, L.M. Sanchez-Siles, G. Ros, M.J. Periago, Changes in bioactive compounds and antioxidant activity during homogenization and thermal processing of tomato puree, *Innov. Food Sci. Emerg. Technol.* **10** (2009) 179-188.
- [39] K.G. Duodu, A. Minnaar, J.R.N. Taylor, Effect of cooking and irradiation on the labile vitamins and anti-nutrients content of a traditional african sorghum porridge and spinach relish, *Food Chem.* **66** (1999) 21-27.
- [40] P. Arancibia-Avila, J. Namiesnik, F. Toledo, E. Werner, A.L. Martinez-Ayala, N.E. Rocha-Guzmán, J.A. Gallegos-Infante, Sh. Gorinstein, The influence of different time durations of thermal processing on berries quality, *Food Control* **26** (2012) 587-593.
- [41] W. Kalt, Ch.F. Forney, A. Martin, R.L. Prior, Antioxidant capacity, vitamin C, phenolics and anthocyanins after fresh storage of small fruits, *J. Agr. Food Chem.* **47** (1999) 4638-4644.
- [42] J. Volden, G.I.A. Borge, G.B. Bengtsson, M. Hansen, I.E. Thygesen, T. Wicklund, Effect of thermal treatment on glucosinolates and antioxidant-related parameters in red cabbage (*Brassica oleracea* L. ssp. *capitata f. rubra*), *Food Chem.* **109** (2008) 595-605.
- [43] D. Kilcast, Effect of irradiation on vitamins, *Food Chem.* **49** (1994) 157-164.
- [44] G.E. Lester, G.J. Hallman,  $\gamma$ -irradiation Dose: Effects on baby leaf spinach ascorbic acid, carotenoids, folate,  $\alpha$ -tocopherol and phylloquinone concentrations, *J. Agr. Food Chem.* **58** (2010) 4901-4906.
- [45] K.H. Kim, H.S. Yook, Effect of gamma irradiation on quality of kiwi fruit (*Actinidia deliciosa* var. *deliciosa* cv. Hayward), *Radiat. Phys. Chem.* **78** (2009) 414-421.
- [46] M. Alothman, R. Bhat, A.A. Karim, Effect of radiation processing on phytochemicals and antioxidants in plant produce, *Trends Food Sci. Tech.* **20** (2009) 201-212.



- [47] A.P. Dionisio, R.T. Gomes, M. Oetterer, Ionizing Radiation Effect on food vitamins- a review, *Braz. Arch. Biol. Tech.*, **52(5)** (2009) 1267-1278.
- [48] E. Leskova, J. Kubikova, E. Kovacikova, M. Kosicka, J. Porubska, K. Holcikova, Vitamin losses: retention during heat treatment and continual changes expressed by mathematical models, *J. Food Compos. Analysis* **19** (2006) 252–276.
- [49] I. Galan, M.L. Garcia, M.D. Selgas, Irradiation is useful for manufacturing ready to eat cooked meat products enriched with folic acid, *Meat Sci.* **87** (2011) 330-335.
- [50] K. Dorofejeva, T. Rakcejeva, R. Galoburda, L. Dukalska, J. Kviesis, Vitamin C content in latvian cranberries dried in convective and microwave vacuum driers, *Procedia*, **1** (2011) 433-440.
- [51] M. Safari, Physicochemical principals of food preservation, Tehran University Press, Tehran, Iran, 1st Ed., (1999) Chapters 2, 4 and 5 (In Farsi).